



БИООРГАНИЧЕСКАЯ ХИМИЯ

том 4 * № 3 * 1978

УДК 577.156.2.07

ВЫДЕЛЕНИЕ ВНУТРИКЛЕТОЧНОЙ СЕРИНОВОЙ ПРОТЕИНАЗЫ ИЗ *BACILLUS SUBTILIS* АФФИННОЙ ХРОМАТОГРАФИЕЙ НА ГРАМИЦИДИН-S-СЕФАРОЗЕ 4В

Изотова Л. С., Городецкий Д. И., Янонис В. В.,
Баратова Л. А., Белянова Л. Н., Тимохина Е. А.,
Стронгин А. Я., Степанов В. М.

Всесоюзный научно-исследовательский институт генетики
и селекции промышленных микроорганизмов, Москва

Разработан метод аффинной хроматографии внутриклеточной сериновой протеиназы из *Bacillus subtilis* на грамицидин-S-сепарозе 4В, позволивший выделить набор молекулярных форм фермента. Две молекулярные формы фермента — Glu-BCP-А и Glu-BCP-Б (минорная форма), различные по электрофоретической подвижности, идентичны по аминокислотному составу и N-концевой последовательности, имея на N-конце остаток глутаминовой кислоты. Автоматическим секвенированием по Эдману определены 50 аминокислотных остатков N-концевой последовательности внутриклеточной протеиназы. При этом выявлена еще одна молекулярная форма протеиназы — Asn-BCP-А, отличающаяся от двух других удлинением в три аминокислотных остатка с N-конца и имеющая остаток аспартагина на N-конце. N-Концевая последовательность внутриклеточной сериновой протеиназы *B. subtilis* гомологична внеклеточной сериновой протеиназе — субтилизину. Это указывает на наличие дуплицированного структурного гена в геноме *B. subtilis*. Существование нескольких форм внутриклеточной сериновой протеиназы может быть объяснено ее посттрансляционной модификацией.

В последние годы для выделения и очистки сериновых протеиназ используется аффинная хроматография на сорбентах, полученных присоединением к активированной сепарозе арильных [1], пептидных [2, 3] или белковых [4] лигандов. В нашей лаборатории предложено использовать в качестве лиганда для аффинной хроматографии антибиотик грамицидин-S-циклогекапептид, в молекуле которого преобладают остатки гидрофобных аминокислот, способные специфически взаимодействовать с ферментом. Грамицидин-S-сепароза была успешно использована для очистки карбоксильных [5] и металлоопротеиназ [6].

В настоящей работе описано использование грамицидин-S-сепарозы для очистки внутриклеточной сериновой протеиназы *Bacillus subtilis* (BCP), которое существенно упростило получение фермента и позволило выделить еще одну его молекулярную форму.

В зависимости от соотношения количеств бромциана и грамицидина S, взятых для получения грамицидин-S-сепарозы, сорбент обычно содержит от 0,35 до 2,75 мкмоль лиганда на 1 мл влажного геля, причем результаты хроматографии кислых и металлоопротеиназ сильно зависят от содержания грамицидина S в аффинном сорбенте [5, 6]. В наших опытах обычно использовали сорбент, содержащий 1 мкмоль грамицидина S на 1 мл влаж-

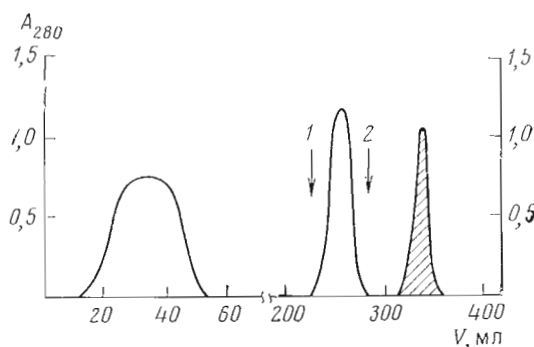


Рис. 1. Профиль разделения на грамицидин-S-сепарозе 4B образца ВСП, полученного после хроматографии на DEAE-целлюлозе. Колонка (2×35 см) уравновешена 50 мМ Трис-HCl-буфером (pH 8,5), содержащим 1 мМ CaCl_2 . Стрелками отмечено начало промывок колонки: 1 — 1 М NaCl в том же буфере; 2 — 1 М $\text{NaCl} + 25\%$ изопропанол в том же буфере. Заштрихован пик, содержащий активные фракции

ного геля. Понижение содержания лиганда до 0,6 мкмоль/мл или повышение до 2,7 мкмоль/мл не отражалось существенно на ходе хроматографии.

В предыдущей работе [7] была описана очистка ВСП с помощью хроматографии на DEAE-целлюлозе, ультрагеле AcA-34 и диск-электрофореза в поликариламидном геле. Поскольку при диск-электрофорезе активность ВСП по хромогенному субстрату *n*-нитроанилиду бензилоксикарбонил-аланил-аланил-лейцина снижалась в 2–3 раза, перед этой стадией очистки фермент приходилось ингибиовать 1 мМ фенилметилсульфонилфторидом (ФМСФ), что затрудняло последующее изучение ферментных свойств ВСП. Использование аффинной хроматографии не только упростило общую схему выделения ВСП, но и позволило получить высокоактивные чистые препараты фермента, пригодные для дальнейших энзимологических исследований.

При нанесении на колонку образцов ВСП, полученных при хроматографии на DEAE-целлюлозе, фермент легко связывался с грамицидин-S-сепарозой и элюировался лишь под действием 1 М NaCl в 25% изопропаноле (рис. 1), давая высокоактивные образцы ВСП, гомогенные по данным диск-электрофореза (рис. 2, табл. 1).

Специфическое связывание с аффинным сорбентом кислых молекул ВСП (изоэлектрическая точка 4,3), по-видимому, обусловлено вкладом как ионных, так и гидрофобных взаимодействий соответствующих участков

Таблица 1
Очистка внутриклеточной сериновой протеиназы *B. subtilis*

Стадия	Уд. активность *		Степень очистки, <i>n</i> раз	Выход по белку, мг	Выход по активности ВСП, %
	исходн.	получ.			
Хроматография на DEAE-целлюлозе «грубого» фермента	0,8	4,0	5	60	55
Хроматография на грамицидин-S-сепарозе фракций, полученных после DEAE-целлюлозы	4,0	18,0	4,5	12,5	93
Двукратная хроматография на грамицидин-S-сепарозе «грубого» фермента	0,8	18,1	23	26	70

* Мкмоль *n*-нитроанилина, образовавшегося на 1 мг белка за 1 мин. Субстрат — Z-Ala-Ala-Leu-pNa.

макромолекулы с остатками гидрофобных и основных аминокислот, входящих в состав грамицидина S. Поэтому для элюции ВСП требуется совместное действие высокой ионной силы (1 M NaCl подавляет ионные взаимодействия фермента с сорбентом) и 25% изопропилового спирта, ослабляющего гидрофобные взаимодействия ВСП с грамицидином S.

В случаях, когда для очистки брались препараты «грубого» фермента, полученные при осаждении сульфатом аммония в интервале 55—80% насыщения, при хроматографии на грамицидин-S-сепарозе фермент не связывался сорбентом прочно, а элюировался при промывании колонки исходным буфером, лишь несколько задерживаясь по отношению к пигментам и балластным белкам (рис. 3). При повторной хроматографии активных функций в условиях, когда нагрузка на колонку не превышала 1 мг суммарного белка на 1 мл геля, профиль разделения был таким же, как и в опытах с предварительно очищенным на DEAE-целлюлозе препаратом (рис. 1). Очевидно, присутствие значительных количеств балластных белков ухудшает связывание ВСП грамицидин-S-сепарозой, поскольку они могут конкурировать с лигандом за связывание фермента.

При двухкратной хроматографии на грамицидин-S-сепарозе удается достичь такой же степени очистки ВСП, как за три стадии очистки по прежней методике (хроматография на DEAE-целлюлозе, гель-фильтрация через ультрагель AcA-34, препаративный диск-электрофорез ингибированного образца), и получить высокоактивный препарат фермента (табл. 1).

При проверке на гомогенность диск-электрофорезом в 7,5% полиакриламидном геле образцы ВСП, полученные на грамицидин-S-сепарозе непосредственно из «грубого» фермента, давали две полосы, каждая из которых обладала ферментативной активностью по синтетическому хромогенному субстрату (рис. 2). Главный компонент (сокращенно ВСП-А) имел R_f 0,7, и его содержание было равно 70—80%. Минорный компонент, обозначенный как ВСП-Б, имел R_f 0,6. После разделения этих компонентов препаративным диск-электрофорезом, сравнение их аминокислотных составов и N-концевой последовательности оказалось, что они идентичны по этим параметрам. По-видимому, минорный компонент, обладающий меньшей электрофоретической подвижностью, представляет собой молекулярную форму ВСП, которая теряется при хроматографии на DEAE-целлюлозе. Это связано с тем, что для дальнейшей очистки после DEAE-целлюлозы брались только центральные фракции активного пика. Не исключено, что ВСП-Б является продуктом посттрансляционной модификации ВСП-А или наоборот. Также, однако, нельзя полностью исключить, что в последовательности ВСП-Б, удаленной от N-конца, имеется незначительное число замен по сравнению с последовательностью ВСП-А. Это может приводить к изменению электрофоретической подвижности, не отражаясь существенно на результатах аминокислотного анализа.

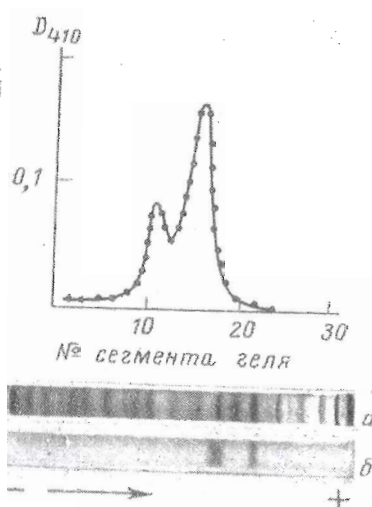


Рис. 2. Диск-электрофорез в 10% полиакриламидном геле: *а* — препарат ВСП после фракционирования сульфатом аммония («грубый» фермент); *б* — препарат ВСП, очищенный двукратной хроматографией на грамицидин-S-сепарозе 4B; *в* — локализация активности ВСП после инкубации сегментов геля (1,5 мм) в 0,5 мл 50 мМ Трис-HCl-буфера (pH 8,5), содержащего 1 мМ CaCl_2 и 0,05 мг хромогенного субстрата. В 10% геле ВСП-А и ВСП-Б имеют R_f 0,5 и 0,4 соответственно

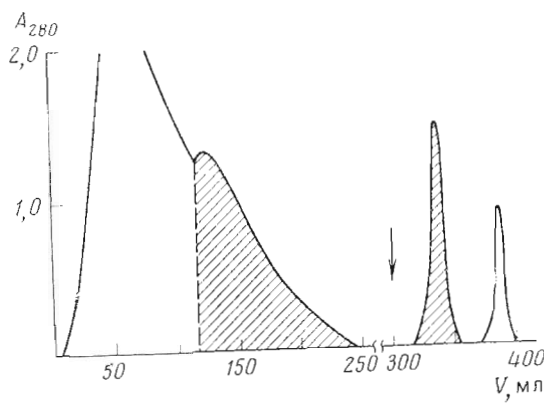


Рис. 3. Профиль разделения на грамицидин-S-сепарозе 4B «грубого» фермента. Стрелкой отмечено начало промывки колонки 1 M NaCl. Активные фракции заштрихованы. Размер колонки и буфер такой же, как в подписи к рис. 1

Как видно из табл. 2, аминокислотный состав ВСП отличается повышенным содержанием остатков Glx, Lys, Phe и пониженным содержанием Val по сравнению с составом известных секреторных субтилизинов. В табл. 3 приведены N-концевые последовательности секреторных субтилизинов BPN' и Carlsberg, а также последовательность ВСП, определенная автоматическим секвенированием по Эдману (в предыдущей работе сообщалось об установлении последовательности 19 N-концевых остатков ВСП [7]). По сравнению с представленными внеклеточными субтилизинами ВСП-А и ВСП-Б короче на два аминокислотных остатка с N-конца. Из 46 идентифицированных остатков ВСП 24 совпадали с соответствующими остатками субтилизина BPN' и 29 — с соответствующими остатками субтилизина Carlsberg, в то время как количество совпадений по аналогичным положениям этих двух субтилизинов составляло 26. Особенно консервативен

Таблица 2
Аминокислотный состав ВСП и секреторных субтилизинов

Аминокислота	ВСП	Субтилизины				
		BPN' [8]	221 [9]	Carlsberg [8]	Amylosacch. [*] [8]	Pfizer [10]
Lys	20	41	6	9	8	11
His	6	6	8	5	6	4
Arg	6	2	8	4	4	4
Asx	36	28	29	28	25	28
Thr	13	13	18	19	17	17
Ser	25	37	23	32	41	31
Glx	33	15	16	12	15	15
Pro	13	14	16	9	13	14
Gly	36	33	39	35	33	29
Ala	32	37	45	41	35	32
Val	19	30	27	31	25	22
Met	5-6	5	4	5	4	5
Ile	13	13	9	10	16	9
Leu	25	15	22	16	15	13
Tyr	7	10	9	13	12	9
Phe	7	3	2	4	4	4
Trp	**	3	3	1	3	**
Сумма	296	275	283	274	275	247

* Amylosacch.—Amylosacchariticus.

** Не определили.

Таблица 3

N-Концевые последовательности ВСП и секреторных субтилизинов [8]
 ВСП—молекулярная форма Glu-ВСП-А, ВРН'—субтилизин ВРН', САР—субтилизин Carlsberg

BPN'* Ala Gln Ser Val	Pro	Tyr	Gly	Val	Ser	Gln	Ile Lys Ala Pro
CAR Ala Gln Thr Val	Pro	Tyr	Gly	Ile	Pro	Leu	Ile Lys Ala Asp
ВСП ¹ Glu Leu	Pro	Glu	Gly	Ile	Gln	Val	Ile Lys ¹⁰ Ala Pro
BPN' Ala	Leu	His Ser	Gln Gly	Typ Thr	Gly Ser	Asn Val	Lys Val
CAR Lys Val Gln		Ala Gln Gly	Phe Lys	Gly Ala	Asn Val	Lys Val	
ВСП Gln	Leu	Trp	Ala Gln Gly	Phe ²⁰ Lys	Gly Ser	Asp Ile	Lys Ile
BPN'	Ala Val	Ile	Asp	Ser	Gly Ile Asp	Ser Ser His	Pro Asn Leu
CAR	Ala Val Leu		Asp	Thr	Gly Ile	Gln Ala Ser His	Pro Asn Leu
ВСП	Ala Val Leu	³⁰ Asp	Thr	Gly Ile	Asp	Val X X	Pro Asn ⁴⁰ Leu
BPN' Lys Val Ala	Gly Gly	Ala Ser Met	Val	Pro Ser			
CAR Asn Val Val	Gly Gly	Ala Ser	Phe Val	Ala Gly			
ВСП Asp X X	Gly Gly	—** X	Phe Val	Ala Gly			

* По N-концевой последовательности субтилизин А-50 [7], выделенный из того же штамма *B. subtilis* А-50, что и ВСП, полностью идентичен субтилизину ВРН'.

** По сравнению с секреторными субтилизинами этот остаток в последовательности ВСП, по-видимому, делецирован. X — неидентифицированные остатки. Жирным шрифтом выделены остатки аспарагиновой кислоты активного центра субтилизинов и соответствующий им остаток аспарагиновой кислоты ВСП.

участок, окружающий остаток Asp³² активного центра субтилизинов (Asp³⁰ у ВСП-А). Гомология N-концевых последовательностей этих белков позволяет предположить, что соответствующие им структурные гены возникли в результате дупликации их эволюционного предшественника. По-видимому, это первый пример наличия дуплицированных генов в бактериальном геноме, подтвержденный структурными данными. Не исключено, что именно ВСП является эволюционным предшественником секреторных субтилизинов. Наличие двух родственных структурных генов в геноме *B. subtilis*, способных обмениваться генетической информацией за счет рекомбинации, может в известной степени объяснить значительную дивергенцию известных типов субтилизинов.

Необходимо отметить, что при секвенировании образцов ВСП-А наряду с основной цепью была идентифицирована миорная цепь, которая была длинее на три остатка с N-конца — Asn-Val-X-ВСП-А. Эта форма, обозначенная как Asn-ВСП-А, не отличается от главного компонента (Glu-ВСП-А) ни по электрофоретической подвижности, ни по молекулярному весу. Ее возникновение связано, скорее всего, с ограниченным протеолизом белка — предшественника ВСП либо с последовательным отщеплением, например аминопептидазой, N-концевых аминокислот Asn-ВСП-А, приводящим к появлению Glu-ВСП-А.

Таким образом, возникновение всех молекулярных форм ВСП может быть объяснено посттрансляционной модификацией.

Экспериментальная часть

Использовали грамицидин S производства Красноярского завода медпрепаратов, дважды перекристаллизованный из этанола; сефарозу 4B (Pharmacia, Швеция); ФМСФ, бромциан, Трис-HCl (Serva, ФРГ).

Штамм *Bacillus subtilis* A-50 выращивали, как описано в работе [7]. После ультразвукового разрушения клеточной оболочки, отделения нуклеиновых кислот и осаждения сульфатом аммония «грубого» фермента [7] белок наносили на колонку (2×35 см) с грамицидин-S-сефарозой, уравновешенной 0,01 М Трис-HCl-буфером (рН 8,5), содержащим 0,001 М CaCl_2 . В некоторых опытах перед проведением аффинной хроматографии образцы подвергали ионообменному разделению на DEAE-целлюлозе [7]. Элюцию с грамицидин-S-сефарозы проводили тем же Трис-HCl-буфером, а также приготовленными на его основе 1 М NaCl и 1 М NaCl с добавлением 25% изопропанола. Фракции, содержащие протеолитическую активность, повторно хроматографировали на грамицидин-S-сефарозе в аналогичных условиях.

Для получения иммобилизованного грамицидина S 300 г сефарозы 4B в 450 мл 5 М калий-фосфатного буфера (рН 11,8) активировали по методу Пората [11] раствором 25 г бромциана в 15 мл свежеперегнанного ацетонитрила при 7° в течение 10 мин, после чего прибавляли раствор 7 г грамицидина S в смеси 210 мл ДМФА и 70 мл 0,1 н. NaHCO_3 . Смесь перемешивали 20 ч при комнатной температуре, отфильтровывали сорбент и промывали его на колонке 50% раствором ДМФА в 0,1 н. NaHCO_3 , 50% ДМФА и водой, а перед опытом — всеми растворами, которые в данном опыте использовались для элюции фермента. Содержание лиганда в грамицидин-S-сефарозе определяли аминокислотным анализом солянокислого гидролизата сорбента.

Количество белка определяли по УФ-поглощению при 280 нм на спектрофотометре СФ-16А, а протеолитическую активность ВСП — по ранее описанной методике [7] с помощью синтетического хромогенного пептидного субстрата — *n*-нитроанилида бензилоксикарбонил-аланил-аланилнейцина.

Аминокислотный анализ солянокислых гидролизатов (105° , 24 и 72 ч) белка проводили на анализаторах BC-201 (LKB, Швеция; Durrum D-500, США). Метионин определяли как метионинсульфон.

Диск-электрофорез в 7,5% полиакриламидном геле проводили по методу Дэвиса [12], определяя R_f белков относительно положения маркера — бромфенолового синего. Полосы, соответствующие активным фракциям, вырезали и экстрагировали белок 0,1 М NaCl , отделяя полиакриламид фильтрованием, после чего экстракт диализовали против воды.

Определение N-концевой последовательности ВСП, денатурированной фенолом, проводили на секвенаторе аминокислот (Beckman-890, США). После каждого цикла отщепления фенилтиогиданттоины аминокислот идентифицировали газовой хроматографией, тонкослойной хроматографией и аминокислотным анализом [13, 14].

Авторы выражают благодарность Л. М. Ермаковой за помощь в выращивании клеток *B. subtilis*, Л. А. Люблинской — за синтез хромогенного пептидного субстрата, И. А. Кузнецовой и Л. Н. Кудрявцевой — за соействие в проведении некоторых экспериментов.

ЛИТЕРАТУРА

1. Stevenson K. J., Landman A. (1971) Can. J. Biochem., 49, 119—126.
2. Fujiwara K., Tsuru D. (1974) J. Biochem., 76, 883—886.
3. Fujiwara K., Osue K., Tsuru D. (1975) J. Biochem., 77, 739—743.
4. Nakayama T., Munoz L., Doi R. H. (1977) Anal. Biochem., 78, 165—170.
5. Степанов В. М., Лобарева Л. С., Руденская Г. Н., Боровикова В. П., Ковалева Г. Г., Лавренова Г. И. (1977) Биоорган. химия, 3, 831—835.

6. Ваганова Т. И., Ластовецкая Л. В., Стронгин А. Я., Люблинская Л. А., Степанов В. М. (1976) Биохимия, **41**, 2229—2237.
7. Stepanov V. M., Strongin A. Ya., Izotova L. S., Abramov Z. T., Belyanova L. P., Baratova L. A., Luyblinskaya L. A., Ermakova L. M. (1977) Biochem. and Biophys. Res. Commun., **66**, 298—305.
8. Kurihara M., Markland F. S., Smith E. L. (1972) J. Biol. Chem., **247**, 5619—5631.
9. Nakamura K., Matsushima A., Horikoshi K. (1973) Agr. Biol. Chem., **37**, 1261—1267.
10. Munnell K. P., Kapoor A. (1976) Int. J. Peptide and Protein Res., **8**, 141—153.
11. Porath G., Aspberg K., Drevin H., Axen R. (1973) J. Chromatogr., **86**, 53—58.
12. Davis B. J. (1964) Ann. N. Y. Acad. Sci., **121**, 404—427.
13. Hermodson N. A., Ericsson L. H., Titani K., Neurath H., Walsh K. A. (1972) Biochemistry, **11**, 4493—4502.
14. Pisano J. J., Bronzert T. J., Brewer H. B. (1972) Anal. Biochem., **45**, 43—59.

Поступила в редакцию
29.VII.1977

ISOLATION OF *BACILLUS SUBTILIS* INTRACELLULAR SERINE PROTEASE BY GRAMICIDIN-S-SEPHAROSE 4B AFFINITY CHROMATOGRAPHY

IZOTOVA L. S., GORODETSKY D. I., YANONIS V. V.,
BARATOVA L. A., BELYANOVA L. P., TIMOKHINA E. A.,
STRONGIN A. YA., STEPANOV V. M.

*Institute of Genetics and Selection of Industrial
Microorganisms, Moscow*

Intracellular serine protease was isolated from *Bacillus subtilis* A-50 using gramicidin-S-Sepharose 4B affinity chromatography. Several active molecular forms of this enzyme were revealed. Two of them (Glu-ISP-A and ISP-B) with N-terminal Glu had different electrophoretic mobility. The third form (Asn-ISP-A) differed from the other ones by having an N-terminal extension composed of three residues. Using automated Edman degradation a 50-residue N-terminal sequence of intracellular protease was determined. It proved to be homologous with the N-terminal sequence of a subtilisin — secretory serine protease of the same species. These data indicate the presence of the duplicated structural genes for serine proteases in *B. subtilis* genome. It is suggested that the appearance of intracellular serine protease molecular forms might originate as a result of post-translational modification.